

Scheduling single-machine: disegno,  
implementazione e test di uno schema di  
branch-and-bound combinatorio

Carmine Scarpitta  
email  
matricola

Elly Schmidt  
email  
matricola

Davide Romano Tranzocchi  
email  
matricola

A.A. 2017/2018

# Indice

<b>1</b>	<b>Introduzione</b>	<b>2</b>
<b>2</b>	<b>Caratteristiche teoriche e idee algoritmiche implementate</b>	<b>2</b>
2.1	Algoritmo di branch-and-bound . . . . .	2
<b>3</b>	<b>Documentazione del codice</b>	<b>3</b>
<b>4</b>	<b>Schema delle classi</b>	<b>3</b>
<b>5</b>	<b>Risultati sperimentali</b>	<b>3</b>
5.1	Schema implementato in Java . . . . .	3
5.2	Schema implementato in AMPL . . . . .	4
<b>6</b>	<b>Analisi sperimentale</b>	<b>4</b>
<b>7</b>	<b>Conclusioni</b>	<b>4</b>

## 1 Introduzione

In questo documento saranno presentati gli aspetti salienti dell'applicazione sviluppata per risolvere il problema di scheduling  $1|r_j|\sum_j C_j$  impiegando un algoritmo di branch-and-bound combinatorio.

## 2 Caratteristiche teoriche e idee algoritmiche implementate

### 2.1 Algoritmo di branch-and-bound

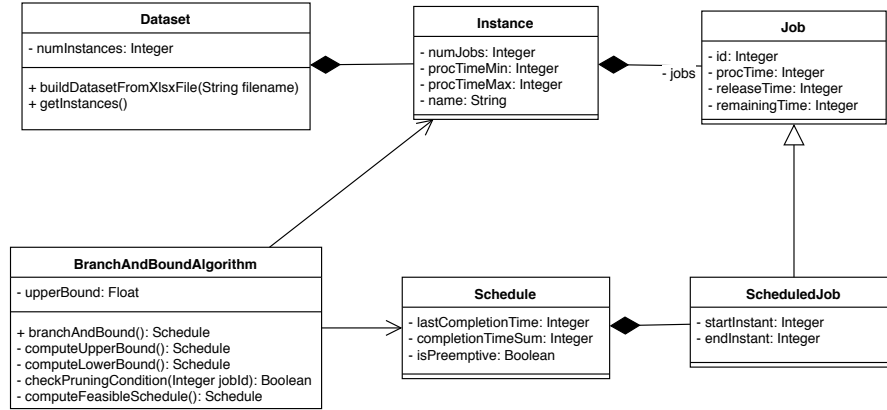
L'algoritmo di branch-and-bound da noi implementato si articola in tre fasi:

1. Inizializzazione
  - (a) Calcola un upper bound sul valore della funzione obiettivo da una schedula ammissibile
  - (b) Inizializza sequenze parziali 'partialSequence' e 'remainingJobs'
  - (c) Inizialmente poni tutti i nodi cioè i job in 'remainingJobs'
2. Primo passo di ramificazione
  - (a) FOR Nodo = 1 .. n DO
    - i. Seleziona il nodo j-esimo secondo un criterio e aggiungilo a 'partialSequence'
    - ii. Calcola un lower bound sulla soluzione ottima per quel nodo calcolando una schedula con prelazione
    - iii. Se  $LB < UB$  continue
3. Passi successivi di ramificazione

### 3 Documentazione del codice

L'applicazione dapprima legge un file Excel contenente le istanze del problema di scheduling considerato impiegando le API fornite dal componente XSSF del progetto Apache POI. I moduli di questo componente consentono di creare, modificare, leggere e scrivere fogli elettronici nel formato di file .xlsx. Dunque l'applicazione costruisce un dataset a partire dalle istanze tramite un parser che analizza ogni cella del foglio elettronico e crea nuovi oggetti Java della classe Job inizializzandoli con i valori dei tempi di processamento e di rilascio contenuti all'interno del file. Infine applica l'algoritmo di branch-and-bound a ciascuna istanza al fine di ottenere la soluzione del problema di scheduling corrispondente.

### 4 Schema delle classi



### 5 Risultati sperimentali

Presentiamo ora i risultati dei test svolti sulle varie istanze, considerando prima le soluzioni dell'implementazione in Java e poi in AMPL.

#### 5.1 Schema implementato in Java

- Istanza 1:  $\sum_j C_j = 3520$ , schedula ottima  $\sigma = (8, 2, 6, 7, 5, 1, 10, 3, 9, 4)$
- Istanza 2:  $\sum_j C_j = 15177$ , schedula ottima  $\sigma = (29, 9, 14, 16, 25, 7, 12, 17, 8, 28, 19, 27, 3, 11, 26, 30, 24, 20, 1, 5, 6, 13, 15, 18, 22, 23, 4, 10, 21, 31, 32, 33, 34, 35, 36, 37, 38, 39, 40, 41, 42, 43, 44, 45, 46, 47, 48, 49, 50)$
- Istanza 3:  $\sum_j C_j = 9694$ , schedula ottima  $\sigma = (7, 19, 23, 16, 4, 12, 28, 21, 9, 26, 11, 3, 5, 17, 30, 6, 8, 10, 24, 2, 13, 14, 15, 18, 20, 22, 25, 27, 29, 31, 32, 33, 34, 35, 36, 37, 38, 39, 40, 41, 42, 43, 44, 45, 46, 47, 48, 49, 50)$
- Istanza 4:  $\sum_j C_j = 32688$ , schedula ottima  $\sigma = (35, 14, 1, 33, 8, 38, 40, 6, 30, 23, 11, 32, 13, 21, 12, 17, 2, 28, 3, 4, 5, 9, 10, 15, 16, 18, 19, 20, 22, 24, 25, 26, 27, 29, 31, 34, 36, 37, 39, 41, 42, 43, 44, 45, 46, 47, 48, 49, 50)$
- Istanza 5:  $\sum_j C_j = 16236$ , schedula ottima  $\sigma = (3, 30, 11, 25, 38, 13, 31, 26, 39, 14, 4, 20, 12, 24, 27, 37, 23, 10, 15, 16, 18, 19, 20, 22, 24, 25, 26, 27, 29, 31, 34, 36, 37, 39, 41, 42, 43, 44, 45, 46, 47, 48, 49, 50)$
- Istanza 6:  $\sum_j C_j = 87651$ , schedula ottima  $\sigma = (40, 8, 36, 30, 3, 51, 33, 43, 20, 52, 35, 5, 53, 16, 44, 4, 41, 56, 17, 18, 19, 20, 21, 22, 23, 24, 25, 26, 27, 28, 29, 30, 31, 32, 33, 34, 35, 36, 37, 38, 39, 40, 41, 42, 43, 44, 45, 46, 47, 48, 49, 50)$

**5.2 Schema implementato in AMPL**

**6 Analisi sperimentale**

**7 Conclusioni**